

Модель случайных кластеров. Статистич. сумму модели Поттса можно представить графически, используя след. представление ПСВ:  $\exp(K\delta_{p_1 p_2}) = 1 + v\delta_{p_1 p_2}$ ,  $v = \exp K - 1$ . На графе сопоставим 1 пустое ребро, а  $v\delta_{p_1 p_2}$  — заполненное (рис. 5). Кластером наз. совокупность узлов, соединенных заполненными рёбрами. Изолиров. узел также считается кластером. Статистич. сумма  $q$ -компонентной модели Поттса представляется в виде  $Z(q, v) = \sum q^k v^m$ , где  $k$  — число кластеров, а  $m$  — число заполненных рёбер в графе. Определив статистич. сумму графически, можно не считать  $q$  целым числом.

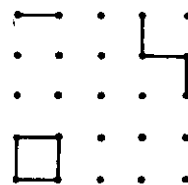


Рис. 5. Пример графа в кластерном разложении модели Поттса.

Модель Поттса при  $q=1$  связана с процессами протекания (см. Протекания теория), а при  $q=0$  — со статистикой длинных полимерных молекул без самопересечения. Модель случайных кластеров можно преобразовать в б- $V$ -модель.

**Критические свойства двумерных систем.** При достаточно низких темп-рах сп. значение параметра порядка (намагниченности) системы с дискретной абелевой группой симметрии отлично от нуля. При высоких темп-рах система находится в неупорядоч. состоянии. В системах с непрерывной группой симметрии намагниченность отсутствует во всём диапазоне темп-р.

В модели БВ различие между фазами выражается в поведении корреляторов на больших расстояниях. Ниже точки перехода (в т. н. мягкой фазе) они убывают по степенному закону, выше точки перехода убывание происходит экспоненциально. В мягкой фазе взаимодействие между пробными зарядами кулоновское (логарифмическое). После диссоциации вихревых молекул пробные заряды экранируются и взаимодействуют экспоненциально слабо. Изменение характера взаимодействия приводит к изменению зависимости коррелятора от расстояния.

В  $Z_q$ -симметричных моделях при  $q > 4$  существует интервал темп-р ( $4 < 2J_{\text{эфф}} < q^2/4$ , где  $J_{\text{эфф}}$  — эффективная взаимодействия), в к-ром симметрия восстанавливается. В этой фазе корреляторы убывают по степенному закону (мягкая фаза). На верх. границе интервала происходит описанный выше переход в кулоновском газе вихрей. Высокотемпературная фаза характеризуется полным беспорядком и экспоненц. спаданием корреляторов. При  $q < 4$  промежуточная (мягкая) фаза отсутствует. Фазовые диаграммы для  $q=4$  и  $q > 4$  изображены на рис. 6.

Точное решение модели Изинга демонстрирует существование единств. фазового перехода 2-го рода

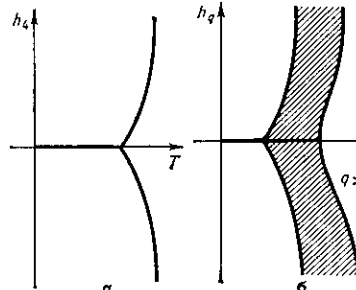


Рис. 6. Фазовые диаграммы модели Березинского — Виллэна с нарушенной симметрией (см. табл. 1). Утолщённый отрезок оси абсцисс соответствует мягкой фазе. При  $q > 4$  заштрихованная область между двумя жирными линиями соответствует мягкой фазе.

в точке, где параметры  $J_h$  и  $J_v$  связаны соотношением дуальности  $\sin(2J_h) \sin(2J_v) = 1$ . В изотропной модели критич. значение  $J^{(c)} = \ln(\sqrt{2} \pm 1)$ , где знак «+» соответствует ферромагнетику, а «-» — антиферромагнетику.

Для моделей Поттса при  $q > 4$  показано, что эквивалентная б- $V$ -модель имеет единств. точку фазового перехода при  $u=s=0$ . Параметры  $K_h$  и  $K_v$  в анизо-

тропной модели связаны  $D\Gamma (\exp K_h - 1) \cdot (\exp K_v - 1) = -q$ . Считается, что то же соотношение определяет критич. точку при  $q \leq 4$ . При  $q > 4$  переход происходит скачком (переход 1-го рода), а при  $q \leq 4$  — непрерывно (переход 2-го рода).

Свободная энергия модели Бакстера — аналитич. ф-ция параметров  $a, b, c, d > 0$ , за исключением плоскостей

$$a=b+c+d, b=a+c+d, c=a+b+d, d=a+b+c. \quad (3)$$

На этих плоскостях корреляц. радиус обращается в бесконечность. Параметр  $k^2 = abcd / \bar{a} \bar{b} \bar{c} \bar{d}$  обращается

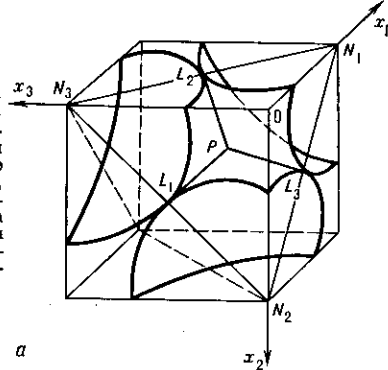


Рис. 7. Фазовая диаграмма однородной изотропной модели Ашкина — Теллера: а — листы критической поверхности пересекаются попарно вдоль отрезков  $PL_1, PL_2, PL_3$  с общей тройной точкой  $P$ , все три отрезка лежат в плоскости  $N_1 N_2 N_3$ ; б — сечение фазовой диаграммы плоскостью  $N_1 N_2 N_3$ .



в 1 на плоскостях (3) и только на них. Система находится в упорядоч. фазе при  $k^2 < 1$  и в неупорядоченной при  $k^2 > 1$ .

Фазовую диаграмму модели АТ удобно представить в координатах  $x_i = w_i / w_0$ ,  $0 \leq x_i \leq 1$ ,  $i = 1, 2, 3$  (рис. 7, а). Критич. поверхность состоит из 3 листов. Изотропная модель АТ эквивалентна модели Бакстера с  $a=b$  при условии  $x_1 + x_2 + x_3 = 1$ . В этой плоскости (рис. 7, б) отрезки  $x_i = x_j$  состоят из критич. точек. Линия  $x_2 = x_3$  соответствует  $d=0$  в модели Бакстера. Центр треугольника является критич. точкой 4-компонентной модели Поттса.

Фазовое пространство модели ЖГ в координатах  $L, M$  ограничено кривыми  $z(L, M) = 0$ , где  $z$  выражается через  $L$  и  $M$  согласно ф-ле (2). Области  $z(L, M) < 0$ , заштрихованные на рис. 8, нефизические. В оставшейся области значение параметра  $\Delta = z^{1/2} [1 - z \exp(L + M)]$  определяет, в какой фазе находится система. Границы фаз определяются условием  $\Delta = \pm \Delta_c$ , где  $\Delta_c^{-2} = [(1 + \sqrt{5})/2]^6$ . Фазовая диаграмма симметрична относительно замены осей  $L$  и  $M$ . В фазах I, III, V плотность на подрешётках одинакова (жидкая фаза). В фазах II и VI частицы занимают преимущественно одну из трёх подрешёток (треугольный кристалл). В фазе IV занята одна из двух подрешёток (квадратный кристалл).

Критич. показатели. В модели БВ масштабная размерность параметра порядка  $\Lambda$  в точке фазового перехода равна  $1/8$ , что подтверждено при измерении в плёнках  ${}^4\text{He}$  отношения сверхтекучей

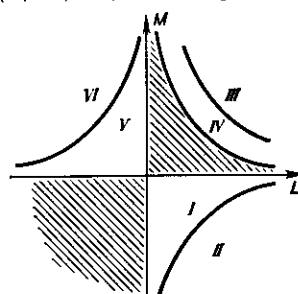


Рис. 8. Фазовая диаграмма точно решаемой обобщённой модели жёстких гексагонов.